FWDを用いた盛土の剛性評価方法

鴨 智彦1·関根悦夫2·阿部長門3·丸山暉彦4

¹正会員 (財)鉄道総合技術研究所 軌道技術開発推進部 (〒185-8540 東京都国分寺市光町2-8-38)
²正会員 工博 (財)鉄道総合技術研究所 軌道技術開発推進部 (〒185-8540 東京都国分寺市光町2-8-38)
³正会員 工博 東亜道路工業(株)技術研究所 (〒232-0033 神奈川県横浜市南区中村町5-318)
⁴正会員 工博 長岡技術科学大学教授 環境・建設系 (〒940-2188 新潟県長岡市上富岡町1603-1)

鉄道盛土の締固め程度の管理は、道路の平板載荷試験による K_{30} 値で行っているが、道路の平板載荷試験には、測定に時間がかかる、大きな反力装置を必要とする等の問題点がある。そこで、道路の平板載荷試験に代わる簡便かつ迅速な方法として、FWDを盛土の締固め程度の管理に適用するための検討を行なってきた。その結果、FWDによる K_{30} 値と相関があり、盛土の締固め程度の管理に適用可能であるとの結論を得た。本論文では、FWDを用いた盛土の締固め程度の管理方法を実用化することを目的とし、これまでに得た K_{30} 値とFWDによる K_{60} 位との関係について検討した。その結果、地盤の剛性の低い範囲では、ほぼ1:1の関係にあり、地盤の剛性が高くなるにつれて1:2の関係に近づくとの結論を得た。

Key Words: embankment, rigidity, FWD, K-value

1. はじめに

鉄道では、盛土の締固め程度の管理は道路の平板 載荷試験による K_{30} 値により行うことを基本としている 11 が、道路の平板載荷試験は測定に時間がかかることや大きな反力装置を必要とすることから 1 日の測定数が限られ、測定頻度は盛土延長 $50\sim100m$ に 1 箇所程度としている 11,21 . そのため、試験結果を迅速に施工に反映させることが難しく、測定頻度の少なさが盛土全体の状態を把握することを困難にしている. しかし、盛土全体の状態を適切に評価するためには、比較的正確な測定を迅速に多数点で行う必要があり、簡便かつ迅速な K 値の測定方法の提案が望まれている.

 K_{30} 値を簡便に求める方法は、これまでにもいくつか紹介されているが、筆者等は、荷重と変位量が直接測定できる FWD(図-1)を用いた方法について検討を行ってきた。また、施工延長の短い箇所や狭隘箇所での K 値測定を対象として、小型 FWD(図-2)についてもあわせて検討を行った。その結果、FWDや小型 FWD から得られる K 値(以下 K_{FWD} 値, K_{HFWD} 値という)は、締固め密度比や空気間隙率、 K_{30} 値と相関があり、盛土の剛性評価に十分適用可能であるとの結論を得ている $^{3,4),5}$. また、その結果を基にした実施工での適用事例もある 9 .

本論文では、FWD を用いた盛土の剛性評価方法の

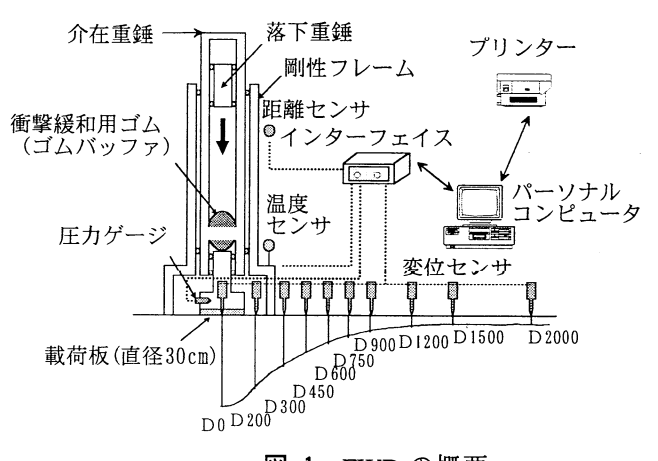


図-1 FWD の概要

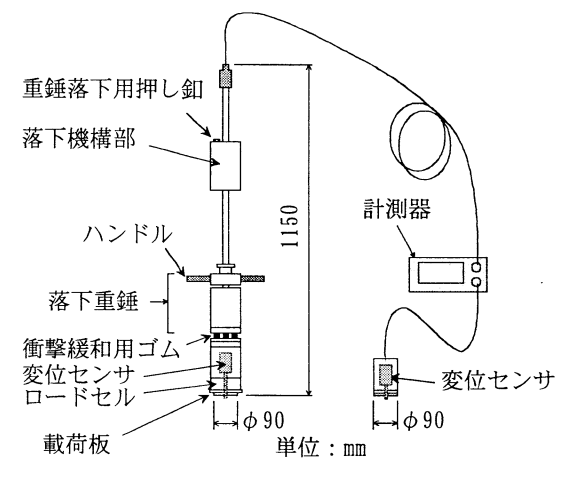


図-2 小型 FWD の概要

表-1 測定地盤の土の種類と測定項目

	地盤の剛性	土の種類			道路の平板載荷試験	FWD	HFWD
1	剛性の低い地盤	粘性土地盤	関東ローム	自然地盤	0	_	0
			网 木口	掘削地盤	0	_	0
2	①よりもやや 剛性の高い地盤	砂質土地盤	礫質砂	土槽	0	0	0
3	剛性の高い地盤	礫質土地盤	粒度調整砕石(M-30)	土槽	0	0	0
			粒度調整砕石(M-30)	試験盛土	0	0	0
			クラッシャラン (C−40)	現地盛土	0		0
			再生クラッシャラン(RC-30)	現地盛土	0	0	0

○:測定, -:未測定

表-2 材料の物理特性

20 - MILLS MOTHE											
			関東ローム	礫質砂	粒度調整砕石 (M-30)	クラッシャラン (C−40)	再生クラッシャラン (RC-30)				
	礫分	(%)	0. 0	18. 3	71. 5	82. 6	70. 4				
粒度	砂分	(%)	13. 5	75. 4	20. 0	13. 9	26. 1				
分布	細 粒 分	(%)	86. 5	6. 3	8. 5	3. 5	3. 5				
	均 等 係 数			13	85. 5	20	35				
"	曲 率 係	数		3	6. 54	1. 7	1. 48				
コンシステンシー			181. 7	_			_				
			94. 3				-				
	I _P		87. 4	-	_	_	_				
土粒子の密度 (g/cm³)			2. 771	2. 664	2. 710	2. 750	2. 674				
最大乾燥密度 (g/cm³)			_	1. 938	2. 312	2. 025	1. 921				
最適含水比 (%)			_	11. 9	5. 4	6. 2	10.6				
土 質 分 類			VH2	SG-F	GS-F	G-S	GS				

確立を目的として、土質の異なる地盤上で測定した K_{30} 値、 K_{FWD} 値、 K_{HFWD} 値について、地盤の剛性の違いによる K_{30} 値と K_{FWD} 値および K_{HFWD} 値との関係について検討した.

2. K値測定の概略

(1) 測定地盤の概要

盛土材料は、土工の切盛りのバランスを考慮し、現場で発生するものを用いるのが一般的である. しかし、鉄道では圧縮沈下に対するきびしい制限から、使用する材料は礫質土や砂質土が中心であり、粘性土については安定処理を行うことを基本としているため、盛土材料は購入土が一般的となっている. これまでに、安定処理を必要としない盛土材料を用いて構築した地盤・盛土等において、また、原地盤を想定して火山灰質粘性土(関東ローム)において道路の平板載荷試験、FWD、小型 FWD による試験を行っており、その地盤条件は表-1 に示すように3種{① 剛性の低い地盤(粘性土地盤)、② ①よりもやや剛性の高い地盤(砂質土地盤)、③ 剛性の高い地盤(砂質土地盤)、③ 剛性の高い地盤(砂質土地盤)、③ 剛性の高い地盤(礫質土地盤)

それぞれの地盤材料の物理特性を**表-2** に示す. 粘性土地盤は、関東ロームの自然地盤および、駅 構内において掘削した関東ロームの地盤である.

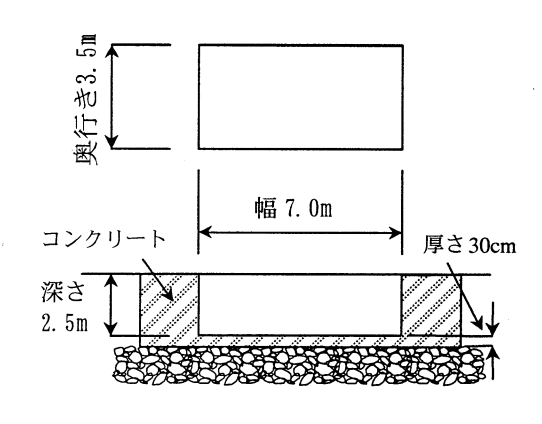


図-3 土槽の概要

砂質土地盤は、図-3 に示すような、幅 7.0m、奥行き 3.5m、深さ 2.5m の土槽に、締固め密度比を 95%、85%、80%に設定し、均一となるよう材料の敷均し厚さ、転圧回数に十分配慮して構築した 3 タイプの地盤である。

礫質土地盤は、砂質土地盤の場合と同じ土槽に構築した地盤と、関東ロームの地盤上に構築した試験盛土、現地の盛土である。土槽に構築した地盤は、粒度調整砕石(M-30)を用いて、砂質土の場合と同様締固め密度比を 95%、85%、80%に設定し、均一となるよう材料の敷均し厚さ、転圧回数に十分配慮して構築したものである。試験盛土は、粒度調整砕

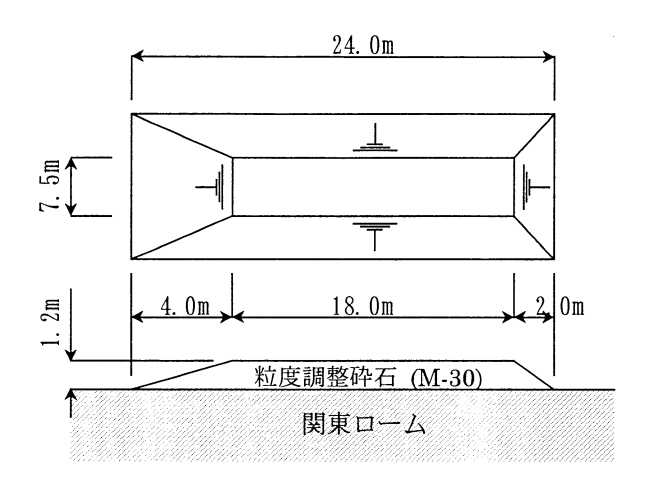


図-4 試験盛土の概要

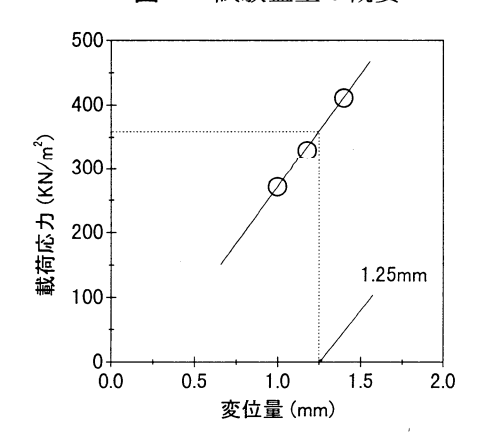


図-5 FWD による K 値の算出方法

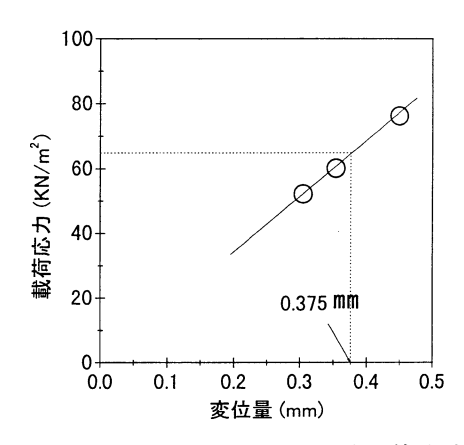


図-6 小型 FWD による K 値の算出方法

石 (M-30) を用いて、関東ロームの地盤上に図-4に示す形状寸法の盛土を、土槽の場合と同様、締固め密度比を 95%、85%、80%に設定して、均一になるように敷均し厚さ、転圧回数に十分配慮して構築した 3 タイプの盛土である。現地の盛土は、クラッシャラン (C-40) および再生クラッシャラン (RC-30)を用いて構築されたものである。クラッシャランを用いたものは、幅約 $3.0 \sim 7.0 \, \mathrm{m}$ 、高さ約 $1.0 \sim 3.0 \, \mathrm{m}$ 、再生クラッシャランを用いたものは、幅約 $16 \, \mathrm{m}$ 、高さ約 $1.0 \sim 6.5 \, \mathrm{m}$ の盛土である。

(2) K値の算出方法

FWD による K 値は、FWD の載荷板の直径が道路の平板載荷試験に用いる載荷板と同じ 30cm であることから、道路の平板載荷試験と同様に載荷応力を変位量 1.25mm で除すことにより求めた。

ただし、測定の際に、重錘質量や重錘落下高さを 微調整してもちょうど 1.25mm の変位量を得ること は非常に困難であるため、重錘質量を一定とし、重 錘落下高さを変化させる事により、図-5 に示すよう に 1.25mm を挟む変位量を得るような測定を行い、 変位量 1.25mm とそのときの載荷応力を用いて K 値 を算出した. 小型 FWD による K 値についても、FWD と同様の方法で測定を行った. ただし、小型 FWD は 載荷板の直径が 9cm であるため、変位量は 1.25mm に載荷板の直径比率を乗じた 0.375mm を用いること とし、図-6 に示すように、0.375mm を挟む変位量を 得るような測定を行った. また、K 値は、載荷板の 直径に反比例することから、式(1) に示すように、載 荷応力を変位量で除した値に、この補正も行って K値を算出した.

$$K_{HFWD}$$
 (id) = $\left(\frac{P_{0.375}}{\delta}\right) \cdot \left(\frac{D_9}{D_{30}}\right)$ (1)

ここに,

 K_{HEWD} 値:小型FWDによるK値

 $P_{0.375}$:変位量0.375mmのときの載荷応力

δ_{0.375} :変位量0.375mm

D₉, D₃₀: 小型FWDと平板載荷試験の載荷板直径

3. 測定事例

(1) 粘性土地盤

粘性土地盤で得られた K_{30} 値と K_{HFWD} 値との関係を図-7 に示す。これから, K_{30} 値, K_{HFWD} 値とも 40~90 MN/m^3 の範囲にあり,掘削地盤での測定結果にややばらつきがあるものの,地盤の剛性の低い場合には, K_{30} 値と K_{HFWD} 値はほぼ 1:1 の関係にあることがわかる.

(2) 砂質土地盤

土槽に構築した砂質土地盤での K_{30} 値と K_{FWD} 値, K_{HFWD} 値との関係を図-8 に示す。図-8 は, K_{30} 値は 70 \sim 200 MN/m^3 の範囲にあり, K_{FWD} 値, K_{HFWD} 値は 90 \sim 300 MN/m^3 の範囲にあることを示している。これより,粘性土地盤よりやや剛性の高い砂質土地盤の場合には, K_{30} 値と K_{FWD} 値, K_{HFWD} 値は 1:1.5 の関係にあることがわかる。

(3) 礫質土地盤

a) 粒度調整砕石(試験盛土)

粒度調整砕石で構築した試験盛土における K_{30} 値と K_{FWD} 値, K_{HFWD} 値との関係を \mathbf{Z} -9 に示す. 同図か

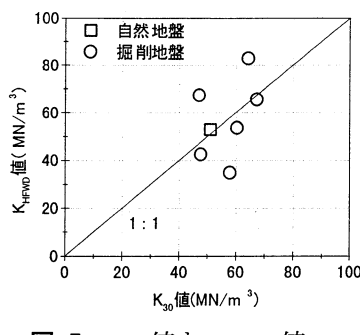


図-7 K₃₀値とK_{HFWD}値 (粘性土地盤)

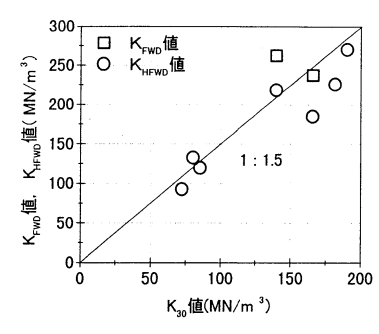


図-8 K_{30} 値と K_{FWD} 値, K_{HFWD} 値(砂質土地盤)

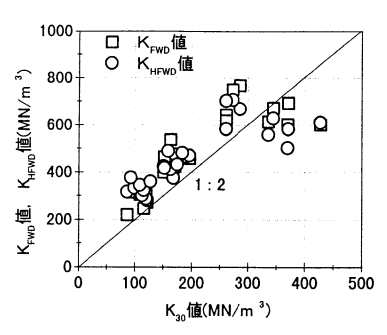


図-9 K_{30} 値と K_{FWD} 値, K_{HFWD} 値 (礫質土地盤, M-30 試験盛土)

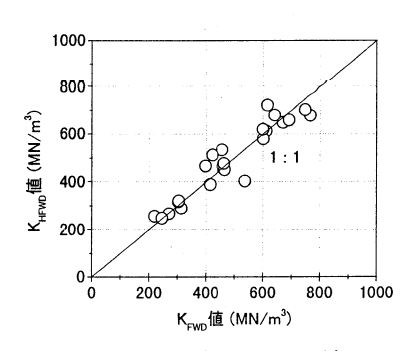


図-10 K_{FWD}値と K_{HFWD}値 (礫質土地盤, M-30 試験盛土)

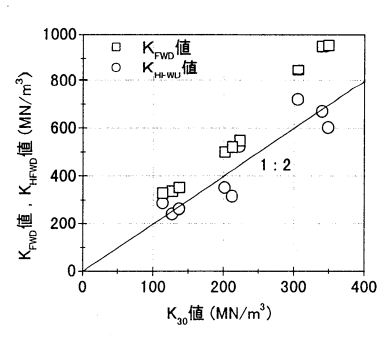


図-11 K_{30} 値と K_{FWD} 値, K_{HFWD} 値(礫質土地盤,M-30 土槽)

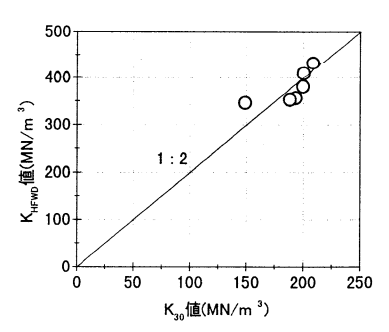


図-12 K_{30} 値と K_{HFWD} 値 (礫質土地盤、C-40現地盛土)

ら、 K_{30} 値は $80\sim450$ MN/ m^3 , K_{FWD} 値, K_{HFWD} 値は $200\sim800$ MN/ m^3 の範囲に分布しており、締固め密度比の大きい場合にばらつきが大きくなる傾向にあるが、これは K_{30} 値のばらつきの影響であり, K_{30} 値と K_{FWD} 値, K_{HFWD} 値とは概ね 1:2 の関係にあることがわかるまた,図-10 に示すように, K_{FWD} 値と K_{HFWD} 値はほぼ同じ値を示しており,載荷板の大きさの補正をすることにより同じ K値が得られることもわかった.

b) 粒度調整砕石(土槽)

粒度調整砕石で構築した土槽で得られた K_{30} 値と K_{FWD} 値, K_{HFWD} 値との関係を図-11 に示す.これより, K_{30} 値は $100\sim350$ MN/ m^3 , K_{FWD} 値, K_{HFWD} 値は $200\sim1,000$ MN/ m^3 の範囲に分布し, K_{30} 値と K_{HFWD} 値は試験 盛土の場合と同様概ね 1:2 の関係にあるが, K_{30} 値と K_{FWD} 値については異なった傾向にあることがわかる.

c) クラッシャラン(現地盛土)

クラッシャラン(C-40)で構築した現地の盛土における K_{30} 値と K_{HFWD} 値との関係を図-12 に示す.図-12 は,粒度調整砕石を用いた試験盛土での K_{30} 値と K_{FWD} 値, K_{HFWD} 値との関係や,粒度調整砕石を用いた土槽での K_{30} 値と K_{HFWD} 値との関係と同じ傾向を示しており, K_{30} 値と K_{FWD} 値, K_{HFWD} 値とは 1:2 の関係にあることがわかる.

d) 再生クラッシャラン(現地盛土)

再生クラッシャラン (RC-30) で構築した現地の盛土での K_{30} 値と K_{FWD} 値, K_{HFWD} 値との関係を図-13に示す.これより、粒度調整砕石を用いた試験盛土やクラッシャランを用いた現地盛土の場合と同様に、 K_{30} 値と、 K_{FWD} 値, K_{HFWD} 値とは 1:2 の関係にあることがわかる.

4. 測定結果の検討

測定事例について整理した結果,静的荷重による K_{30} 値と動的荷重による K_{FWD} 値, K_{HFWD} 値には,剛性 の低い粘性土地盤の場合にばらつきが見られるものの,砂質土地盤,礫質土地盤については,比較的よい相関が見られ,相関係数は 0.8 程度以上であった.ただし,粒度調整砕石を用いた地盤の場合,試験盛土では,図-10 に示したように K_{FWD} 値と K_{HFWD} 値とが,ほぼ等しい値となるのに対して,土槽では,図-14 に示すように K_{FWD} 値と K_{HFWD} 値とは載荷板の大きさの補正をしても同じ値が得られず, K_{FWD} 値は K_{HFWD} 値の約 1.3 倍であった.

試験盛土と土槽との相違点は、粒度調整砕石層の厚さと、その下層の地盤剛性の違いである. 試験盛土の場合、粒度調整砕石層の厚さは1.2m、その下層

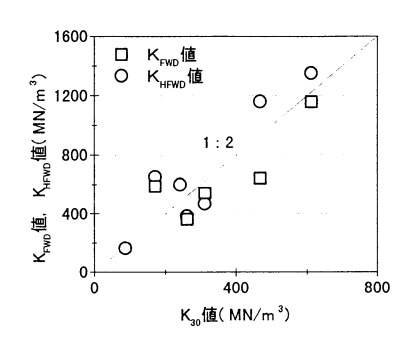


図-13 K_{30} 値と K_{FWD} 値, K_{HFWD} 値(礫質土地盤,RC-30 現地盛土)

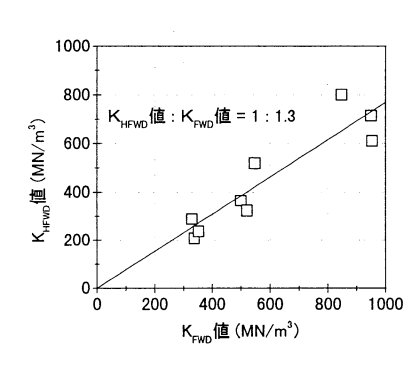


図-14 K_{FWD}値と K_{HFWD}値 (礫質土地盤, M-30 試験土槽)

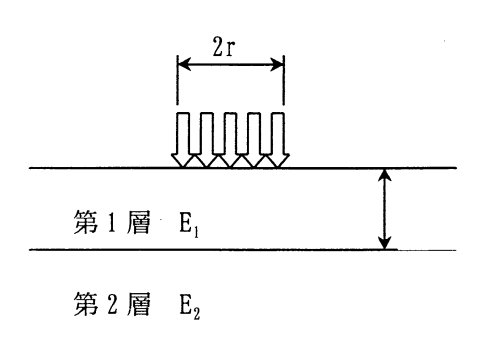


図-15 2層地盤のモデルの概略

は粘性土地盤(関東ローム)である。また、土槽は、 粒度調整砕石層の厚さが 2.5m であり、その下層はコ ンクリート版である。したがって、 K_{FWD} 値は、下層 の剛性の影響を受けている可能性がある。

そこで、図-15 に示すような 2 層地盤のモデルにより円形載荷板の載荷による沈下の検討を行った. 2 層地盤において、円形載荷板の載荷による表面変位は式(2)で表せ、 F_w は変位係数と呼ばれる 7 .

$$\omega = \frac{15pr}{E_2} \cdot F_w$$

$$F_w = \frac{1}{\left\{1 + \left(\frac{h}{r}\right)^2 \left(\frac{E_1}{E_2}\right)^{\frac{7}{3}}\right\}^{\frac{1}{2}}} + \frac{E_2}{E_1}$$

$$\times \left\{1 - \frac{1}{\left\{1 + \left(\frac{h}{r}\right)^2 \left(\frac{E_1}{E_2}\right)^{\frac{7}{3}}\right\}^{\frac{1}{2}}}\right\}$$

ここに,

 ω : 地盤表面の変位 E_1 : 上層の変形係数 p : 接地圧 E_2 : 下層の変形係数 r : 載荷板の半径 r : 北層の厚さ r : 変位係数

粒度調整砕石と関東ロームの剛性の比が約 5 倍程度あることと、粒度調整砕石とコンクリート版の剛性の比は一般に約 100 倍程度あることから、式(2) における F_w と h/r の関係を、 $E_1/E_2=5$ (上層の剛性が下層より高い場合)と $E_1/E_2=0.01$ (上層の剛性が下層より低い場合)について検討した結果を図-16 に示す。ここで、 $E_1/E_2=5$ の場合、 $F_w=1$ は h=0 を、 $F_w=0.2$ は $h=\infty$ を示している。また、 $E_1/E_2=0.01$ の場合は、 $F_w=100$ 、0.01 は、それぞれ $h=\infty$ 、0 を示している。

同図より、 $E_1/E_2=5$ のときには、h/r=10、すなわち、上層の厚さが載荷板半径の 10 倍程度以上あれば下層の影響が小さくなることがわかる. また、

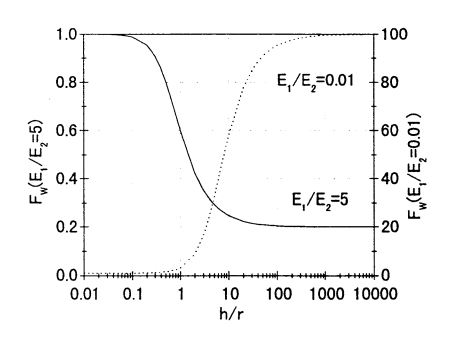


図-16 2層地盤の変位係数

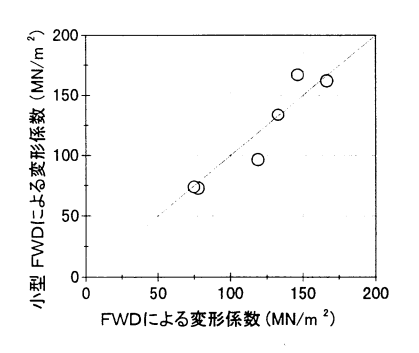


図-17 FWD, 小型 FWD による変形係数

 E_1/E_2 =0.01 のときには,上層の厚さが載荷板半径の40 倍程度以上で F_w は90 程度となり,下層の影響が少なくなることがわかる.試験盛土の場合は,上層の剛性が下層よりも大きく,上層の厚さがFWD の載荷板半径の8 倍程度,小型FWD の載荷板半径の27倍程度であるため下層地盤の剛性の影響が大きくなく,土槽の場合,地盤の剛性が土槽底面より小さく,地盤の深さがFWD の載荷板半径の17倍程度,小型FWD の載荷板半径の55 倍程度であったことから,土槽底面の影響を受けたものと考えられる.

次に、下層の影響を確認するために、粒度調整砕石層の変形係数を推定することとした。FWD については、土槽底面を非常に剛性の高い層と仮定し、 $D_0 \sim D_{750}$ の 6 個の変位データを用いて、多層弾性理論に基づく逆解析プログラム LMBS(Layer Moduli Backcalculation System)により推定した。また、小型FWD については、変位データが 2 個と少なく、また、

粒度調整砕石層の厚さが、載荷板半径の約55倍であることから Boussinesq の式 8 より推定した。その結果を図-17に示す。図-17は、FWDと小型 FWD から得られた粒度調整砕石層の変形係数はほぼ同じ値となることを示している。このことから、土槽での K_{FWD} 値はコンクリート底版の影響を受けており、コンクリート底版の影響を考慮すると K_{FWD} 値と K_{HFWD} 値は1:1の関係にあり、 K_{FWD} 値は K_{HFWD} 6は2倍程度であると考えられる。

5. まとめ

以上の検討より得られた主な結果をまとめると以下の通りである.

- (1) 平板載荷試験から得られる K_{30} 値と FWD から得られる K 値との関係は、地盤の種類によって以下のように変化する.
 - ・地盤の剛性の低い粘性土地盤では, K_{30} 値と K_{FWD} 値, K_{HFWD} 値との関係は,ほぼ 1:1 の関係にある.
 - ・粘性土地盤よりやや剛性の高い砂質土地盤では、ほぼ 1:1.5 の関係にある.
 - ・剛性の高い礫質土地盤では、ほぼ 1:2 の関係にある.

すなわち、地盤の剛性が低い範囲では、静的 K 値と動的 K 値はほぼ 1:1 の関係にあり、地盤の剛性が高くなるにつれて 1:2 の関係に近づくことがわかった.

(2) 2層系地盤の場合,上層の厚さが載荷板の直径 の約40倍程度以内では下層の剛性が上層より大 きいと,上層表面で測定されるK値には下層の剛 性が反映されることがわかった.

6. おわりに

過去の測定データをもとに、おおまかな土質ごとの静的 K 値と動的 K 値との関係を得たが、今後、FEM 解析等により今回得られた結果の詳細な検討を行う必要があると考える.

参考文献

- 1) (財)鉄道総合技術研究所編:鉄道構造物等設計標準· 同解説 土構造物, pp.41, 1992.11
- 2) (財) 鉄道総合技術研究所編: 鉄道構造物等設計標準・ 同解説 土構造物, pp.128, 1992.11
- 3) 関根悦夫,村田修,阿部長門,丸山暉彦:FWDによる鉄道盛土の締固め管理に関する研究,第1回舗装工学講演会講演論文集,pp.121~128,1996.12
- 4) 阿部長門, 関根悦夫, 村本勝己, 中西太, 丸山暉彦: FWD を用いた礫材料の締固め特性の評価, 第 32 回 地盤工学研究発表会, pp.2209~2210, 1997.7
- 5) 阿部長門, 関根悦夫, 上浦正樹, 三枝長生, 丸山暉彦: FWD による路盤・路床の支持力評価方法, 第 2 回舗装工学講演会講演論文集, pp.139~143, 1997.12
- 6) 田附伸一, 島峰徹夫, 関根悦夫, 阿部長門:FWD を 用いた鉄道盛土の急速施工管理について, 第 33 回地 盤工学研究発表会, pp.2093~2094, 1998.7
- Palmer, L.A. and Barber, E.S.: Soil Displacement under a Circular Loaded Area, Proc.HRB, Vol.20, pp.279~286, 1940
- 8) 阿部長門, 丸山暉彦, 村田修, 関根悦夫: FWD による鉄道盛土の締固め管理への適用について, 土木学会第 51 回年次学術講演会概要集, 第V部門, pp.40~41, 1996.6

THE RIGIDITY EVALUATION METHOD OF EMBANKMENT USING FWD

Tomohiko KAMO, Etsuo SEKINE, Nagato ABE, Teruhiko MARUYAMA

The intensity of compaction in railway embankment is controlled by K_{30} -value in the plate loading test. However, the plate loading test takes much time and needs a large reaction equipment. Therefore, FWD was examined as a convenient method and substitution for plate loading test. As a result, K-value from FWD correlates with K_{30} -value, and it was confirmed that FWD could be applied to control compaction degree. For the purpose of using FWD practically as controlling compaction degree of embankment, test results was classified into every type of the soil, and relationship between rigidity of subgrade, K_{30} -value and K-value from FWD was summarized. As a result, it was found out that the relation between K-value from FWD and K_{30} -value were 1:1 when the rigidity of subgrade is low, also its relation became 1:2 when the rigidity is high.